

А. Т. Мингазин

УДК 621.372.54.037.372

## Анализ влияния квантования коэффициентов на характеристики цифровых фильтров

Предложен метод анализа влияния квантования коэффициентов на характеристики затухания рекурсивных цифровых фильтров; приведены примеры анализа каскадных цифровых фильтров при использовании различных аппроксимирующих функций.

Для анализа влияния квантования коэффициентов на характеристики затухания рекурсивных цифровых фильтров (ЦФ) используются различные методы [1], основанные на статистической модели квантования, на прямом вычислении достаточной разрядности коэффициентов и на оценке ее верхней границы. Статистические методы неприемлемы при больших значениях шага квантования  $q$  коэффициентов [2]. Метод верхней границы дает завышенные результаты [1], кроме того, в нем, как и в методе прямого вычисления, не учитывается зависимость получаемой характеристики затухания, соответствующей квантованным коэффициентам, от исходных параметров (таких как неравномерность характеристики в полосе пропускания  $\Delta a$ , минимальное затухание в полосе задерживания  $a_0$ ; граничные частоты полосы пропускания и задерживания  $\omega_1$  и  $\omega_2$ ), по которым выполняется расчет ЦФ. Учет этой зависимости использовался при минимизации статистической [3] и реальной разрядности коэффициентов [4, 5], а также при определении начальных приближений для методов синтеза ЦФ с минимальной разрядностью коэффициентов [6]. Ниже указанную зависимость предлагается использовать при анализе влияния квантования коэффициентов на характеристики затухания ЦФ.

Согласно [6]

$$\tilde{\Delta a} = \tilde{\Delta a}(D^*(x)) = \tilde{\Delta a}(x), \quad \tilde{a}_0 = \tilde{a}_0(D^*(x)) = \tilde{a}_0(x), \quad (1)$$

где  $D^*$  — вектор квантованных коэффициентов;  $x$  — один из исходных параметров (т. е.  $\Delta a$ ,  $a_0$ ,  $\omega_1$  или  $\omega_2$ ), выбранный в качестве переменного параметра при фиксированных остальных, или вспомогательный параметр, являющийся некоторой функцией

исходных параметров;  $\sim$  означает соответствие параметров  $\tilde{\Delta a}$ ,  $\tilde{a}_0$  рассчитанной характеристики затухания квантованию вектора коэффициентов.

Поскольку в функции (1) введена операция квантования (знак  $*$ ), их поведение для разных структур ЦФ различно. Конкретный вид (1) определяется также типом ЦФ и выбранной аппроксимацией характеристики затухания. Построенные зависимости  $\tilde{\Delta a} = \tilde{\Delta a}(x)$ ,  $\tilde{a}_0 = \tilde{a}_0(x)$  будут наглядно иллюстрировать влияние выбора исходных параметров и квантования коэффициентов на параметры характеристики затухания в полосе пропускания и задерживания. Диапазон изменения  $x$  целесообразно выбирать в пределах области допуска  $S'$ , имеющей различный вид для разных аппроксимаций [6].

В качестве примера на рис. 1, а, б приведены зависимости (1) при  $x = \Delta a$  для каскадных ЦФ нижних и верхних частот (ЦФНЧ и ЦФВЧ) соответственно. При построении использовалась эллиптическая аппроксимация. Переход от аналогового фильтра-прототипа к ЦФ осуществлялся с помощью билинейного  $z$ -преобразования. Заданные предельно допустимые параметры для ЦФНЧ:  $\Delta a_{\max} = 0,521$  дБ,  $a_{0\min} = 40,1$  дБ,  $\omega_{1\min} = 2\pi 0,027778$ ,  $\omega_{2\max} = 2\pi 0,054872$ , для ЦФВЧ:  $\Delta a_{\max} = 2$  дБ,  $a_{0\min} = 40$  дБ,  $\omega_{2\min} = 2\pi 0,033333$ ,  $\omega_{1\max} = 2\pi 0,066667$ . Частота дискретизации  $\omega_d = 2\pi$ . Порядок рассматриваемых ЦФ  $N = 4$ . Зависимости на рис. 1, а построены при  $a_0 = a_{0\min}$ ,  $\omega_1 = \omega_{1\min}$ ,  $\omega_2 = 2\pi 0,0529$  для  $q = 2^{-7}$  и  $q = 0$  (т. е. коэффициенты неквантованы), на рис. 1, б — при  $a_0 = a_{0\min}$ ,  $\omega_1 = \omega_{1\max}$ ,  $\omega_2 = \omega_{2\min}$  для  $q = 2^{-5}$  и  $q = 0$ .

Дискретный характер кривых при  $q \neq 0$  — следствие квантования (в данном случае округления) двончных коэффициентов [5]. Каждый участок постоянства  $\tilde{\Delta a}$  (или  $\tilde{a}_0$ ) соответствует определенному  $D^*$ . Места скачков в зависимостях  $\tilde{\Delta a}(\Delta a)$  и  $\tilde{a}_0(\Delta a)$  на рис. 1, а или на рис. 1, б строго совпадают. Для соседних участков  $D^*$  отличается лишь одной компонентой (т. е. одним коэффициентом) и на величину  $q$ . Несмотря на это, значения  $\tilde{\Delta a}$  для этих участков могут сильно различаться (см. рис. 1, а — верхняя часть) и поэтому утверждение в [7] о том, что квантование только одного коэффициента слабо влияет на характеристику затухания, не всегда справедливо. С уменьшением  $q$  число указанных участков возрастает (примерно в два раза при уменьшении  $q$  вдвое), их размеры и разброс в значениях  $\tilde{\Delta a}$ ,  $\tilde{a}_0$  уменьшаются и в пределе дискретные кривые станут непрерывными (кривые при  $q = 0$  на рис. 1, а, б).

Для ЦФНЧ  $\tilde{\Delta a}$  попадает в зону допуска на одном участке (окрестность  $\Delta a = 0,3$  дБ, на рис. 1, а — верхняя часть), тогда как для ЦФВЧ  $\tilde{\Delta a}$  редко выходит из

зоны допуска (рис. 1,б — верхняя часть), несмотря на то что в первом случае  $q = 2^{-7}$ , а во втором  $q = 2^{-5}$ . На рис. 1,а (нижняя часть) лишь на одном участке  $\tilde{a}_0 < a_{0\text{min}}$ , а на рис. 1,б (нижняя часть) таких участков больше половины. Таким образом, результаты анализа для ЦФНЧ подтверждают, а для ЦФВЧ не подтверждают

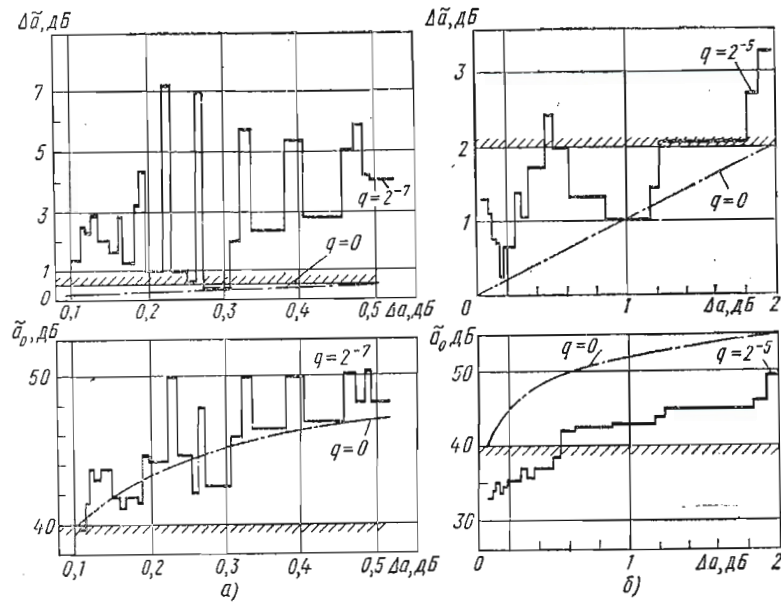


Рис. 1

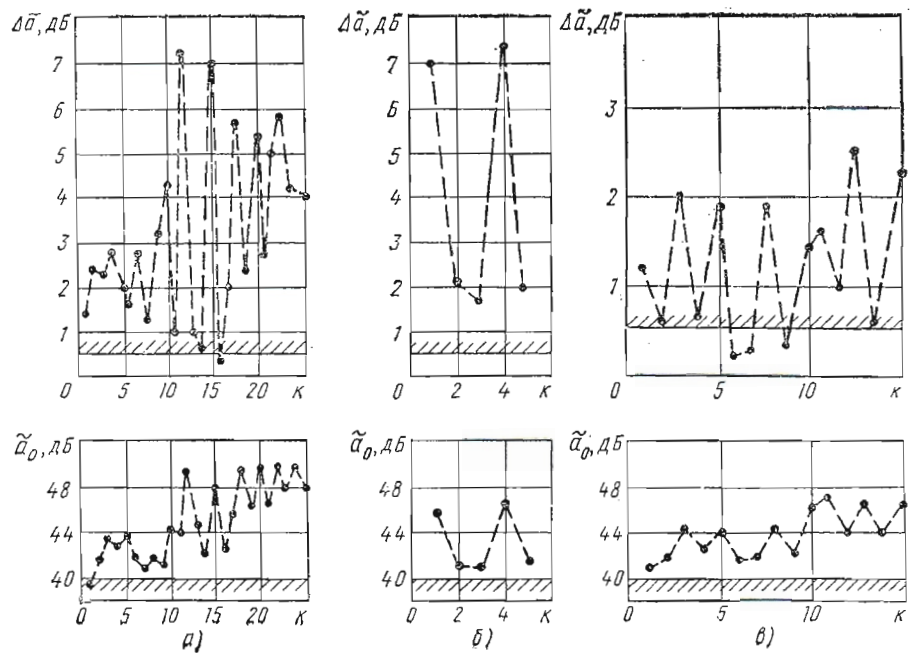


Рис. 2

известное положение о большей остроте проблемы точности характеристик каскадных ЦФ в полосе пропускания, чем в полосе задерживания.

На практике вместо  $\Delta\tilde{a}(x)$  и  $\tilde{a}_0(x)$  проще воспользоваться функциями  $\Delta\tilde{a}(k)$  и  $\tilde{a}_0(k)$ , где  $k$  — номер участка на оси  $x$  (в нашем случае на оси  $\Delta a$ ), для которого  $\Delta\tilde{a} = \text{const}$  (или  $\tilde{a}_0 = \text{const}$ ). Зависимости  $\Delta\tilde{a}(k)$ ,  $\tilde{a}_0(k)$ , соответствующие кривым на рис. 1,а при  $q \neq 0$ , приведены на рис. 2,а. Для сравнения на рис. 2,б показаны ана-

логичные зависимости при  $q=2^{-7}$  для чебышевской ( $N=5$ ) и баттервортовской ( $N=9$ ) аппроксимации соответственно. Значения  $N$  выбраны по требованиям к рассматриваемому ЦФНЧ. Относительно поведения  $\tilde{a}_0(k)$  все три аппроксимации практически эквивалентны. Влияние квантования коэффициентов на  $\Delta a$  сказывается слабее при баттервортовской аппроксимации. Однако при эллиптической и баттервортовской аппроксимациях допустимые решения имеют близкие  $\Delta a$ ,  $\tilde{a}_0$ . Из рис. 2, а—в следует, что нельзя судить о преимуществе той или иной аппроксимации при использовании только одного набора исходных параметров для расчета ЦФ. Это необходимо иметь в виду при сопоставлении структур в отношении к проблеме квантования коэффициентов. В связи с этим выполненное в [8] сравнение структур ЦФ не совсем корректно, поскольку проводилось при одном наборе исходных параметров, и причем неблагоприятном для каскадных ЦФ, но достаточно выгодном для ЦФ с низкой чувствительностью в полосе пропускания из [8]. Так, запас на отклонение исходной характеристики в полосе пропускания был нулевым (т. е.  $\Delta a = \Delta a_{\max}$ ), а в полосе задерживания — максимальным. Поэтому вывод [8] о преимуществе низкочувствительных ЦФ перед каскадными требует дополнительных подтверждений. Из общих положений синтеза стабильных цепей [9] следует, что низкая чувствительность ЦФ к изменению коэффициентов не гарантирует устранения сильных отклонений характеристик после квантования коэффициентов, в особенности при больших  $q$ , для которых теория чувствительности первого порядка несправедлива. Случай больших  $q$  наиболее интересен с точки зрения упрощения аппаратной реализации ЦФ.

⊕ Описанный в статье наглядный подход позволяет анализировать влияние квантования коэффициентов при любых  $q$ , более того, при произвольном законе квантования, и может служить хорошим средством для изучения затронутой проблемы или для выявления наилучшего сочетания возможных исходных параметров типа аппроксимации и структуры ЦФ в конкретных практических применениях.

### Литература

- [1] Эвенхауз. Зарубежная радиоэлектроника, 1973, № 8.
- [2] Hadjilofion A., Appliby D. J. The Radio and Electronic Engineer, 1976, v. 46, № 1.
- [3] Crochiere R. E. IEEE Trans., 1975, CAS-22, № 3.
- [4] Dehner G. AEU, 1975, B. 29, № 4.
- [5] Мингазин А. Т. Электросвязь, 1983, № 7.
- [6] Мингазин А. Т. Электронная техника, 1983, сер. 10, № 6.
- [7] Brglez F. IEEE Trans., 1978, CAS-25, № 12.
- [8] Вайдыанатхан П. П., Митра С. К. ТИИЭР, 1984, т. 72, № 4.
- [9] Синтез активных RC-цепей / Под ред. А. А. Ланне.— М.: Связь, 1975.

Поступила 1 августа 1986 г.

С. Д. Воробьев, Л. С. Цилькер

УДК 681.7.063:621.37/.  
.39:534

### Способ реализации дискретного преобразования Фурье в радиотехнических системах

Рассмотрен способ реализации дискретного преобразования Фурье, позволяющий строить простые, быстродействующие и экономичные схемы фурье-процессоров.

Для  $N$ -точечного дискретного преобразования Фурье (ДПФ)

$$F(m) = \sum_{n=0}^{N-1} u_n W^{mn}, \quad (1)$$

где  $W = \exp(i2\pi/N)$ ;  $n$  — номер выборки сигнала  $u_n$ ;  $m$  — номер частотного отсчета;  $n, m = 0, N-1$ , существуют различные способы реализации, однако все они обладают определенными недостатками. Так, метод быстрого преобразования Фурье более пригоден для применения в ЭВМ, а параллельное формирование набора сумм вида (1) с различными  $m$  слишком громоздко.

Более удобен способ формирования ДПФ на основе ЛЧМ-преобразования [1], позволяющий строить схемы фурье-процессора (ФП) типа трансверсального фильтра, но он требует умножитель на ЛЧМ-сигнал, аналоговый регистр сдвига (РС) длины